

甜草 *Oldenlandia cantonensis* How 的化学成分

蓝文健^a 李厚金^{b*}

(^a中山大学药学院 广州; ^b中山大学化学与化学工程学院 广州 510275)

摘要 研究了民间草药甜草 *Oldenlandia cantonensis* How 的化学成分。从乙醇提取物的乙酸乙酯洗脱部分得到新的五环三萜 urs 12-en-29 α -oic acid 3 β -ol。该化合物结构通过 NMR、IR、MS 等波谱数据综合解析确定。研究了 urs 12-en-29 α -oic acid 3 β -ol 对重组人 DNA 拓扑异构酶 I、肝癌细胞 BEL 7402 和胃腺癌细胞 MCG-803 的抑制作用, 效果显著, IC₅₀ 值分别为 12.0×10^{-6} 、 6.5×10^{-6} 、 8.0×10^{-6} g /mL。由 $V(\text{石油醚}) : V(\text{乙酸乙酯}) = 20:1$ 洗脱得到的低极性成分进行了气相色谱-质谱分析, 共鉴定 60 个化合物, 其中长链脂肪族化合物, 如烷烃、饱和及不饱和羧酸(酯)含量较丰富, 占 36.16%, 蒽类和甾体类化合物分别占 6.42% 和 9.28%。

关键词 *Oldenlandia cantonensis* How, 化学成分, urs 12-en-29 α -oic acid 3 β -ol 生理活性

中图分类号: O 629

文献标识码: A

文章编号: 1000-0518(2006)08-0871-04

甜草 *Oldenlandia cantonensis* How, 异名野甘草、山甘草、广州耳草, 为双子叶茜草科植物。目前, 尚未见甜草 *Oldenlandia cantonensis* How 化学成分的研究报道。本文从采集于江西的甜草 *Oldenlandia cantonensis* How 的地上全草的乙醇提取物中分离出一种新的五环三萜 urs 12-en-29 α -oic acid 3 β -ol 和 β -谷甾醇及正十六烷酸等系列已知化合物, 研究了 urs 12-en-29 α -oic acid 3 β -ol 对重组人 DNA 拓扑异构酶 I (human DNA topoisomerase I hTopo I)、肝癌细胞 BEL-7402 和胃腺癌细胞 MCG-803 的抑制作用, 抑制效果显著。对其低极性油状成分进行了气相色谱-质谱分析, 从中共鉴定了 60 个化合物。深入研究甜草 *Oldenlandia cantonensis* How 的化学组成, 将有可能进一步明确其药用成分和作用机理。

1 实验部分

1.1 试剂和仪器

甜草 *Oldenlandia cantonensis* How 为 2003 年 7 月采集于江西赣南, 取地上全草, 晒干, 剪碎。硅胶 (H), 实验用石油醚、乙酸乙酯、甲醇均为分析纯试剂。95% 乙醇为工业级。美国 Varian 公司 NOVA 500NB 型超导核磁共振谱仪; 英国 VG 公司 ZAB-HS 型双聚焦磁质谱仪; 德国 Bruker 公司 EQUINOX55-A590 BF 型傅立叶变换红外光谱仪; 德国 Elementar 公司 Vario EL CHNS-O 型元素分析仪; 德国 SCHMIDT+HAENSCH 公司 HNQW 5 型旋光仪; 美国 Agilent 公司 HP 6890 /5973 型 GC MS 联用仪。

1.2 提取与分离

取 2 kg 晒干甜草, 切碎, 室温下用 6 L 95% 乙醇浸泡 12 h 共提取 3 次, 合并浸泡液, 40 °C 减压旋转蒸发浓缩至干, 得黑色黏稠膏状浓缩物 230 g。浓缩物再用 400 mL $V(\text{乙酸乙酯}) : V(\text{水}) = 1:1$ 萃取 3 次, 乙酸乙酯层浓缩至 160 g 再用甲醇溶解。溶解液拌硅胶 H 上柱层析, 以石油醚-乙酸乙酯-甲醇为梯度洗脱剂。将 $V(\text{石油醚}) : V(\text{乙酸乙酯}) = 20:1$ 的洗脱液共 1 000 mL 浓缩, 得到具有芳香味的液体油状物约 35 g。将 $V(\text{石油醚}) : V(\text{乙酸乙酯}) = 3:1$ 洗脱部分进一步纯化得到谷甾醇 3.9 g。将 $V(\text{乙酸乙酯}) : V(\text{甲醇}) = 10:1$ 洗脱部分进一步以 $V(\text{石油醚}) : V(\text{乙酸乙酯}) = 1:3$ 重结晶纯化得到白色粉末状固体三萜 urs 12-en-29 α -oic acid 3 β -ol (4.8 g)。

1.3 Urs 12-en-29 α -oic acid 3 β -ol 的波谱数据

$m.p > 250$ °C。[α]_D²⁰ = +40° (MeOH, $c=0.13$)。FABMS: m/z 457 [M + 1]⁺, 439 [M - H₂O + 1]⁺, 411 [M - COOH]⁺, 393 355 341, 327 289 279 248 203 189 133, 119, 69, 55。元素分析结果: C 78.83

2005-09-14 收稿, 2006-02-14 修回

国家自然科学基金(20502036)、广东省自然科学基金(05300667)和中山大学青年教师科研启动基金(2004360001131072)资助项目
通讯联系人: 李厚金, 男, 1974 年生, 博士, 副教授; E-mail: ceslh@mail.sysu.edu.cn 研究方向: 天然产物和药物化学

H 10.90 N 0.000 IR(KBr), ν_{max} : 3 420 2 970 2 928 2 871, 1 693 1 575, 1 455 1 407 1 384 1 370 1 313 1 279 1 249 1 142 1 091, 1 032 996 758 661, 568 cm^{-1} 。NMR 数据见表 1。

1.4 低极性油状物的 GC-MS 分析

以 V (石油醚) V (乙酸乙酯) = 20 : 1 为洗脱剂所收集的液体油状物用氯仿溶解, 进行 GC-MS 分析。色谱条件: HP25M S 30 m \times 0.25 mm \times 0.25 μm 弹性石英毛细管柱。程序升温: 初始柱温 50 °C, 5 °C /min 升至 250 °C, 运行时间 50 min, 进样口温度 230 °C, He 气为载气, 流速 0.5 mL/min, 分流比 20 : 1, 进样量 1 μL 。质谱条件: 离子源为 EI 源, 离子源温度 230 °C, 质量范围 40 ~ 500 amu。

1.5 生理活性试验

人 DNA 拓扑异构酶 I 的表达与重组酶储备液的制备及重组人 DNA 拓扑异构酶 I 的抑制试验采用文献 [1, 2] 方法。抗肝癌细胞 BEL 7402 和胃腺癌细胞 MCG-803 的细胞毒试验采用 MTT 法。

2 结果与讨论

2.1 Urs 12-en-29 α -oic acid 3 β -ol 的结构确定

化合物经 Liebermann-Burchard 试验呈阳性反应, 说明它可能为萜类化合物。从 ^{13}C NMR 知道分子中含有 30 个碳, 其中 7 个季碳, 7 个次甲基碳, 9 个亚甲基碳和 7 个甲基碳。综合 NMR(表 1)、MS 和元素分析实验结果, 确定分子式为 $\text{C}_{30}\text{H}_{48}\text{O}_3$ 。分子中的 6 个甲基氢谱为单峰, 另一个甲基 0.82(d, 6.5) 为双峰, IR(KBr), ν_{max} 1 384 1 370 cm^{-1} 也说明分子中含有偕二甲基。FAB MS 中失水峰 m/z 438 以及 IR(KBr), ν_{max} 3 420 cm^{-1} 宽峰, 提示分子中含有羟基。MS 中 $411[\text{M}-\text{COOH}]^+$, IR 中 1 693 cm^{-1} 以及 δ 178.1, δ 11.8 宽的单峰活泼氢信号进一步说明分子含有 1 个羧基。 CH (δ 76.8, δ 3.00 dd, $J=10$ 5.5 Hz) 以及 δ 4.15 的单峰活泼氢信号提示分子中还含有 1 个羟基连在次甲基上。IR 中 1 575 cm^{-1} 和 CH (δ 124.5, δ 5.13, $J=3.5$ Hz) 和 C(δ 138.1) 提示分子中含有 1 个三取代双键。由分子式确定化合物不饱和度为 7。由此可推断, 分子中还含有 5 个环, HMQC 谱也给出了丰富的碳、氢相关关系, 经综合解析确定其为新的五环三萜 urs 12-en-29 α -oic acid 3 β -ol。该化合物具有和乌苏烷(ursane)一致的骨架^[3], 与乌苏烷不同的是 urs 12-en-29 α -oic acid 3 β -ol 在 3 位连有羟基, 29 位甲基变成了羧基。

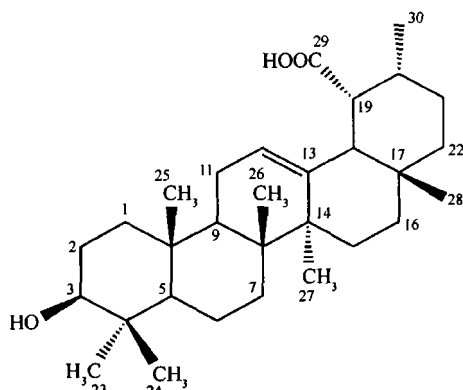
表 1 Urs 12-en-29 α -oic acid 3 β -ol 的 NMR 数据 (DM SO- d_6 TM S 500 MHz)

Table 1 NMR data for urs 12-en-29 α -oic acid 3 β -ol (DM SO- d_6 TM S 500 MHz)

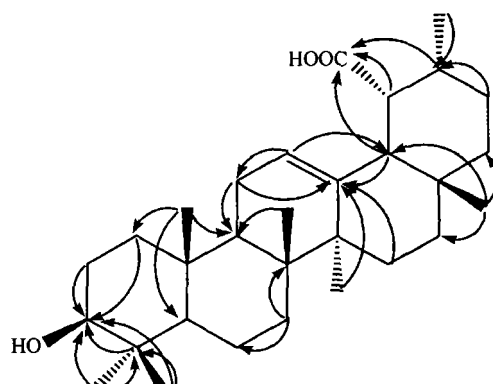
Position number	DEPT	δ_c	δ_h	Position number	DEPT	δ_c	δ_h
1	CH_2	38.2	1.50(d, 13.0 3.5), 1.91(d, 13.0 4.5)	17	C	34.1	-
2	CH_2	23.7	1.54(m)	18	CH	52.3	2.11(dd, 12.0 1.0)
3	CH	76.8	3.00(dd, 10.0 5.5)	19	CH	38.3	1.94(dd, 12.0 3.0)
4	C	38.3	-	20	CH	38.4	1.85(m)
5	CH	54.7	0.66(dd, 10.0 1.0)	21	CH_2	36.2	1.51(m)
6	CH_2	17.9	1.46(m)	22	CH_2	41.6	1.25(m), 1.43(m)
7	CH_2	32.6	1.57(m)	23	CH_3	28.1	0.90(s)
8	C	40.7	-	24	CH_3	15.9	0.68(s)
9	CH	46.9	1.45(m)	25	CH_3	15.1	0.87(s)
10	C	36.2	-	26	CH_3	16.9	0.76(s)
11	CH_2	22.7	1.86(m)	27	CH_3	23.2	1.04(s)
12	CH	124.5	5.13(dd, 3.5 3.5)	28	CH_3	20.9	0.92(s)
13	C	138.1	-	29	C	178.1	-
14	C	41.5	-	30	CH_3	16.8	0.82(d, 6.5)
15	CH_2	27.5	1.80(m)	3-OH	-	-	4.15(bis)
16	CH_2	26.9	1.46(m), 1.30(m)	29-COOH	-	-	11.8(bis)

Urs 12-en-29 α -oic acid 3 β -ol 中 A、B、C 环的立体化学通过 NMR 数据与 α -香树脂(urs-12-en-3 β -ol)比较而确定。18、19 和 20 位的立体化学根据氢偶合常数确定, 18、19 位氢之间的偶合常数为 12.0 Hz, 确定二者为反式直立键; 而 19 和 20 位氢之间的偶合常数为 3.0 Hz, 比较小, 说明 2 个氢所处的位置 1 个在直立键上, 1 个在平伏键上。由此推断, 18、19 和 20 位氢分别处于 α 、 β 、 β 位^[4, 5], 推断 ure-2-en-29 α -oic acid 3 β -ol 的立体结构如 Scheme 1。其主要 ^1H NMR 谱的相关分析示于 Scheme 2。1982 年

Razdai 等^[6]曾从植物 *Plectranthus nigosus* 分离得到类似物 plectranthoic acid(urs-12-en-29 α -oic acid-3 β -ol), 但有关它的碳、氢 NMR 数据归属及生理活性并未见报道。



Scheme 1 The structure of urs-12-en-29 α -oic acid-3 β -ol



Scheme 2 The key HMBC correlations of urs-12-en-29 α -oic acid-3 β -ol

2.2 Urs-12-en-29 α -oic acid-3 β -ol的药理活性

在体外以人 DNA 拓扑异构酶 I (hTopo I) 为靶位进行抗肿瘤活性的快速筛选, 使用毕赤酵母表达了 hTopo I 。在微量反应体系中, 测定了 urs-12-en-29 α -oic acid-3 β -ol 抑制 hTopo I 松驰活性的能力, 并用 MTT 试验进一步验证了 urs-12-en-29 α -oic acid-3 β -ol 的抗肿瘤活性。结果表明, urs-12-en-29 α -oic acid-3 β -ol 对重组人 DNA 拓扑异构酶 I 、肝癌细胞 BEL-7402 和胃腺癌细胞 MCG-803 的 IC₅₀ 值分别为 12.0、6.5 和 8.0 μ g / mL DNA 拓扑异构酶通过切割 DNA 链、链的转移 (或旋转) 和链的再连接来改变 DNA 的拓扑结构。它们可被分为 type I 和 type II 2 个家族。抗癌药物喜树碱 (camptothecin) 及其衍生物拓扑特肯 (topotecan) 、依林诺特肯 (irinotecan) 就可通过 DNA 拓扑异构酶 I 或 II 引起 DNA 双螺旋的 1 条或 2 条链的断裂而导致肿瘤细胞的死亡。真核生物 DNA 拓扑异构酶 I 和 II 已被确定是多种抗肿瘤药物的有效靶位^[7,8]。因 urs-12-en-29 α -oic acid-3 β -ol 在体外酶法和细胞试验的抑制效果明显, 有进一步开发为抗肿瘤药物的前景。但是, 甜草民间药用适应症的活性成分仍待深入研究。

2.3 低极性油状物的 GC-MS 分析结果

对低极性油状成分进行了气相色谱-质谱分析, 从中共鉴定了 60 个化合物 (见表 2)。在已鉴定的成分中, 长链烷烃、饱和及不饱和羧酸 (酯) 的含量丰富, 占 36.16%。萜类及萜类的衍生物的含量也比较丰富, 如: 单萜类: 3,3,6 三甲基-2,5-庚二酮, 9,9'-二甲基-2,7-二甲基-2-羟基-壬烷; 二萜类: 3,7,11,15-四甲基-2-烯-1-十六醇, 6,10,14 三甲基-2-十五烷酮, Vitamin E; 三萜类: 28-N or 17 α - (H)-hopane 檀香油醇, 软木三萜酮, 3-酮基香树脂; 它们占总含量的 6.42%。另外, 被鉴定的甾体类化合物有: 3-甲酰氧基-11-羟基-17-酮基-雄甾烷, 1-烯-3-酮-10-二甲氧基甲基-17-乙酰氧基-雄甾烷, 3,5,22-三烯-豆甾烷, 3,5-二烯-3,17-二(三甲基硅氧基)-雄甾烷, 7-酮基-3-乙酰氧基-胆甾烷, 5,9(11)-二烯-3 β -乙酰氧基-胆甾烷, 22,23-二氢豆甾醇, 5-雄甾烷烯-3 β , 17 β -二乙酰氧基, 它们共占 9.28%。

表 2 甜草 *Olenlandia cantonensis* How 的低极性油状物的 GC-MS 分析

Table 2 The analysis of the low polarity fatty oil of *Olenlandia cantonensis* How by GC-MS

Number	Compound	A rea %	Quality	Number	Compound	A rea %	Quality
1	3,3,6-trimethyl-2,5-heptanone	0.10	73	31	9,9'-dimethoxy-2,7-dimethyl-nonal-2-ol	0.73	89
2	6,10,14-trimethyl-2-pentadecanone	1.25	99	32	octacosanol	0.92	88
3	9-hexadecenoic acid methyl ester	0.21	99	33	2-heptacosanone	0.90	74
4	8 (Z)-hexadecene	0.75	98	34	hexacosanoic acid methyl ester	0.80	86
5	hexadecanoic acid ethyl ester	1.64	81	35	tetradecanoic acid tetradecyl ester	0.99	79
6	1,1-dimethoxydodecane	0.17	78	36	undecanal dimethyl acetal	0.81	72
7	8,11-octadecadienoic acid methyl ester	1.43	99	37	hexacosane	0.67	67
8	9 (Z)-octadecenoic acid methyl ester	2.14	99	38	2-methylpropanoic acid docosyl ester	0.90	83
9	octadecanoic acid methyl ester	0.78	99	39	28-nor-17 α - (H)-hopane	0.54	66

续表 2

Number	Compound	Area %	Quality	Number	Compound	Area %	Quality
10	1 heptadecene	0.13	65	40	1 en 3 one 10 dimethoxyethyl 17 acetoxy androstone	0.48	69
11	9,12 octadecadienoic acid ethyl ester	0.44	99	41	3,5,22-triethylstigmastane	0.57	85
12	ethyl oleate	0.51	99	42	2 nonacosanone	1.2	66
13	octadecanoic acid ethyl ester	0.42	99	43	heptacosanoic acid methyl ester	0.72	90
14	5 (Z)-nonadecene	0.22	97	44	vitamin E	1.08	95
15	3,7,11,15-tetramethyl-12-hexadecene-16-ol	0.35	75	45	tetracosanoic acid hexadecyl ester	2.16	99
16	eicosanoic acid methyl ester	0.49	99	46	undecanol dimethyl acetal	0.93	69
17	tricosane	0.77	98	47	11-methylnonacosane	0.79	75
18	2,4-bis(1-methyl-1-phenyl)-ethyl phenol	0.74	93	48	eudemol	0.76	78
19	docosanoic acid methyl ester	1.15	99	49	butanoic acid cyclohexyl ester	1.51	77
20	dinitro-octyl phthalate	1.04	93	50	1,1-dimethoxy-9-(Z)-octadecene	1.51	81
21	2 dodecyl tetradeca hydrophenanthrene	0.47	78	51	friedelin	0.66	86
22	tricosanoic acid methyl ester	1.16	99	52	3,5-diene-3,17-bis(trimethylsilyloxy)-androstan e	1.63	67
23	pentacosane	1.25	97	53	hexadecyl oxirane	0.89	80
24	1-hexacosene	1.32	89	54	7-one-3-acetoxycholestane	1.34	88
25	tetracosanoic acid methyl ester	1.32	96	55	1-anine-4-methylpiperazine	1.21	72
26	3-formoxy-11-ol-17-one-androstan e	0.40	90	56	5,9(11)-dien-3β-acetoxycholestane	1.39	79
27	11,13-dimethyl-12-tetradecen-16-ol-acetic ester	0.84	87	57	22,23-dihydrostigmasterol	1.73	93
28	tert-hexadecanethiol	1.13	82	58	3-one-5-enylin	0.95	94
29	2-dodecen-1-succinic anhydride	0.39	86	59	3β,17β-bisacetoxy-5-androsten e	1.74	93
30	docosanoic acid methyl ester	0.71	94	60	9-hexadecenoic acid-eicosyl ester	2.07	90

参 考 文 献

- Hsing Y H, Hertzberg R, Hecht S, et al. *J Biol Chem* [J], 1985, **260**(27): 14 873
- Chowdhury A R, Sharma S, Mandal S, et al. *Biochen J* [J], 2002, **366**: 653
- Connolly J D, Hill R A. *Nat Prod Rep* [J], 2003, **20**(6): 640
- Mahato S B, Kundu A P. *Phytochemistry* [J], 1994, **37**(6): 1 517
- Knight S A. *Org Magnetic Resonance* [J], 1974, **6**(11): 603
- Razdan T K, Kachroo V, Harkar S, et al. *Phytochemistry* [J], 1982, **21**(2): 409
- Liu L F. *Annu Rev Biochem* [J], 1989, **58**: 351
- Wang J C. *Nat Rev Mol Cell Biol* [J], 2002, **3**(6): 430

Chemical Composition of *Okenlandia cantonensis* HowLIAN Wen-Jian^a, LI Hou-Jin^{b*}(^aSchool of Pharmaceutical Science, ^bSchool of Chemistry and Chemical Engineering
Sun Yat-sen University, Guangzhou 510275)

Abstract The chemical composition of *Okenlandia cantonensis* How, a herbal medicine is reported. A new pentacyclic triterpenoid urs-12-en-29α-oic acid 3β-ol was obtained from the EOAc eluted fraction of the ethanol extract of *Okenlandia cantonensis* How. The structure was elucidated by spectroscopy methods including NMR (1D and 2D), IR, and MS. Urs-12-en-29α-oic acid 3β-ol exhibited potent inhibiting effect against the human DNA topoisomerase I (hTopo I), the cancer cell lines BEL-7402 and MCG-803, with the IC₅₀ values 12.0×10^{-6} , 6.5×10^{-6} and 8.0×10^{-6} g/mL, respectively. The low polarity fatty oil, the eluted fraction of *V*(petroleum ether) $\mathcal{V}(\text{EOAc}) = 20:1$ was also quantitatively analyzed by gas chromatography mass spectrometry (GC-MS). As a result, 60 compounds were detected. The fatty oil mainly composed of long chain aliphatics, terpene and steroid compounds with percentages of 36.16%, 6.42% and 9.28%, respectively.

Keywords *Okenlandia cantonensis* How, chemical constituents, urs-12-en-29α-oic acid 3β-ol, bioactivity